

TTT4260 Elektronisk systemdesign og -analyse LF Øving 6

Oppgave 1

a)

$$f_0 = \frac{1}{2\pi} \cdot \frac{1}{\sqrt{LC}} = \frac{1}{2\pi} \cdot \frac{1}{\sqrt{0.1 \cdot 100 \cdot 10^{-9}}}$$
$$= \underline{1592Hz} \approx \underline{1.6kHz}$$

b)

Her vil du ganske sikkert finne avvik. En ting er at komponentenes faktiske verdi avviker fra den nominelle. En annen ting er at en typisk motstand, spole eller kondensator, i praksis ikke oppfyller de teoretiske formlene

$$v_R = R \cdot i$$

$$v_L = L \cdot \frac{di_L}{dt}$$

$$v_C = C \cdot \frac{dv_C}{dt}$$

Dette er spesielt aktuelt for spolen. Den er viklet på et ferromagnetisk materiale som har ulike egenskaper. Dermed vil du kunne oppleve at både målt f_0 og frekvensresponsen forøvrig varierer med nivået på den påtrykte spenningen v .

c)

Du vil her finne at $|V_L| > |V|$. Likevel stemmer KVL, siden V_L og V_C ligger i motfase og kansellerer hverandre.

Oppgave 2

a)

a: V_2 er proporsjonal med strømmen I gjennom motstanden R . $I = 0$ både for $\omega = 0$ (der C er åpen krets) og for $\omega \rightarrow \infty$ (der L er åpen krets).

⇒ Båndpassfilter

b: $V_2 = 0$ for $\omega = 0$, siden L da virker som kortslutning. $V_2 = V_1$ når $\omega \rightarrow \infty$ siden strømmen I i kretsen da er lik null \Rightarrow null spenningsfall over R. Det blir også null spenningsfall over C siden den da virker som en kortslutning.

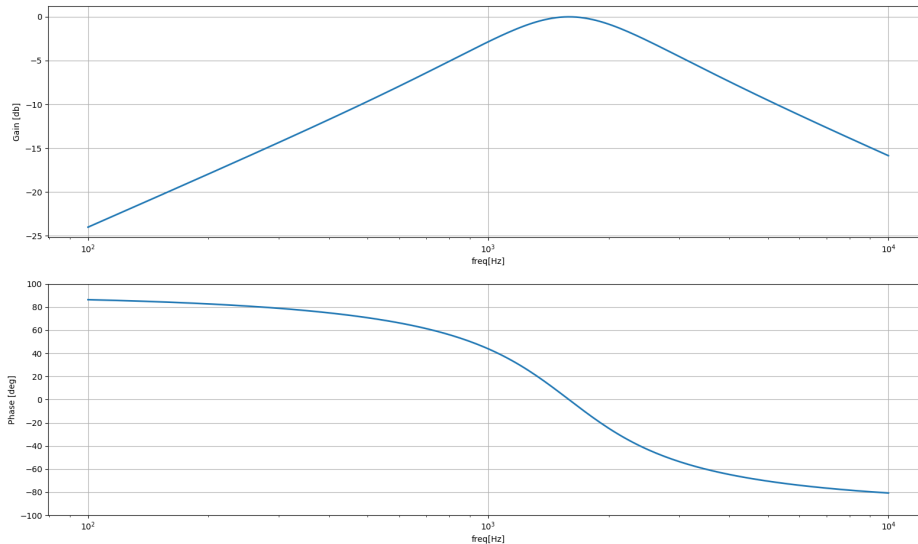
⇒ Høypassfilter

c: $V_2 = V_1$ når $\omega = 0$ siden strømmen I i kretsen da er lik null \Rightarrow null spenningsfall over R og null spenningsfall over L. For $\omega \rightarrow \infty$ blir $V_2 = 0$ siden C da virker som kortslutning.

⇒ Lavpassfilter

b)

Figur 1 viser Bodediagram for krets *a* fra oppgave 2a med $L = 0.1 \text{ H}$, $C = 100 \text{ nF}$ og $R = 1 \text{ k}\Omega$.



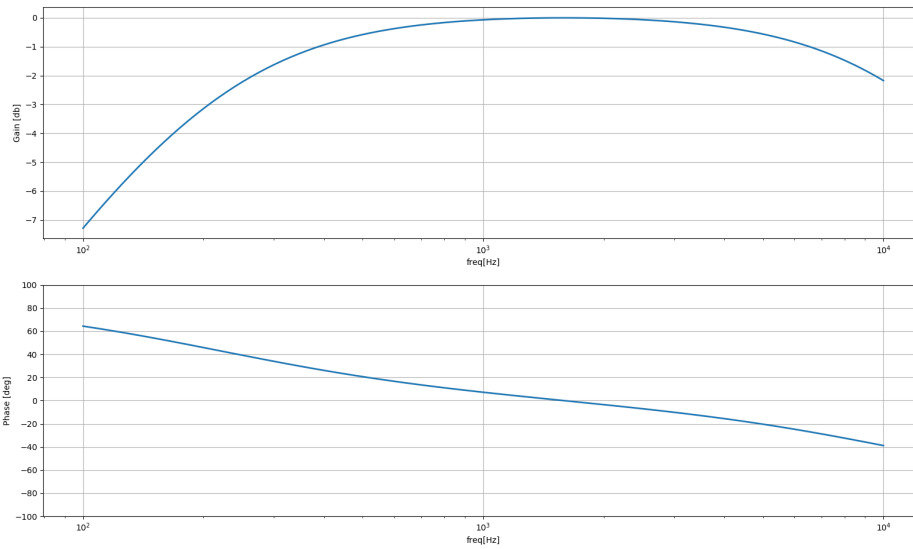
Figur 1: Gain og fase fra krets *a* i Oppgave 2a.

Vi får et båndpassfilter (som forutsett i a) med passbånd sentrert rundt resonansfrekvensen f_0 . Faseforskyvningen blir null for $f = f_0 = \frac{1}{2\pi\sqrt{LC}}$. Dette stemmer siden lasten da er rent resistiv.

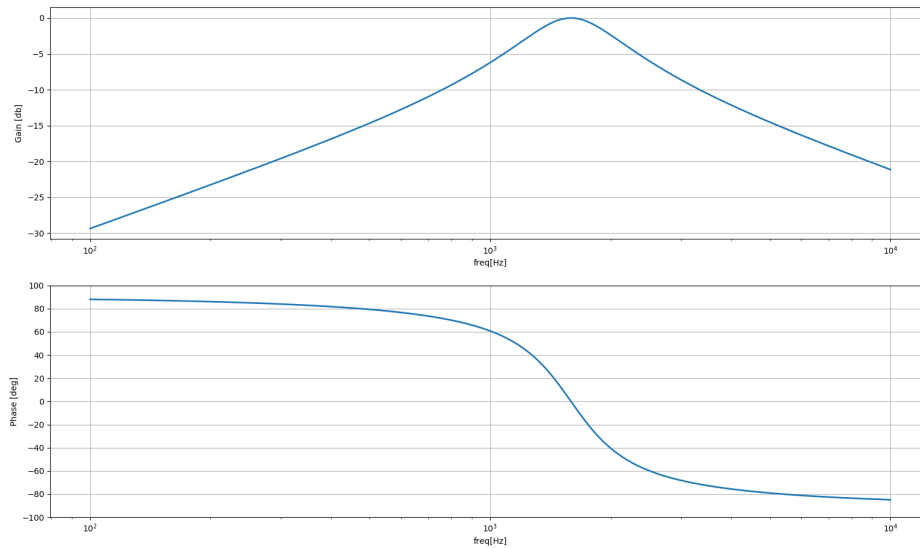
c)

Figurene 2, 3 og 4 viser Bodediagrammer for tre ulike verdier av R.

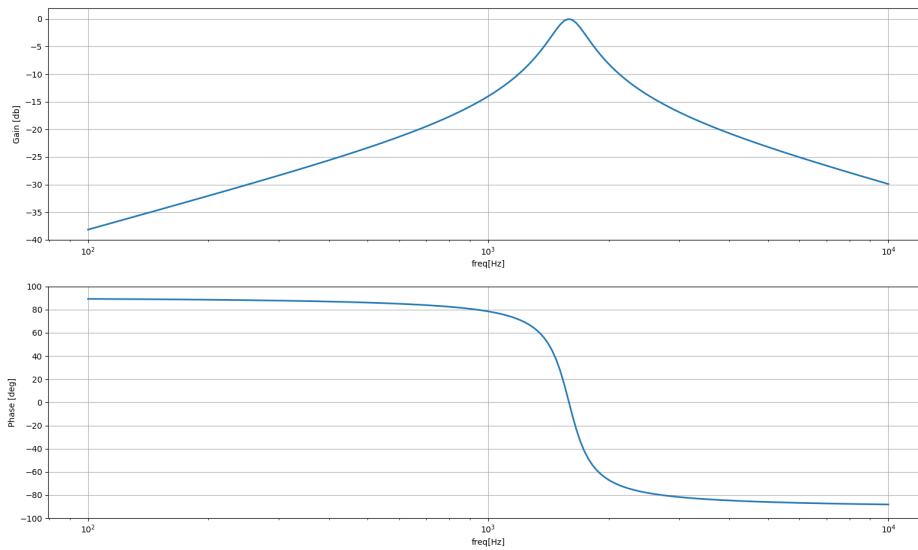
Vi ser at amplituderesponsen blir bredere og flatere med økende R. Ved $R=196\Omega$ er responsen ganske spiss noe som gjør det lettere å lese av frekvensen for maksimal $|H(f)|$.



Figur 2: Gain og fase fra krets *a* i Oppgave 2a, $R=7.6k\Omega$



Figur 3: Gain og fase fra krets *a* i Oppgave 2a, $R=540\Omega$

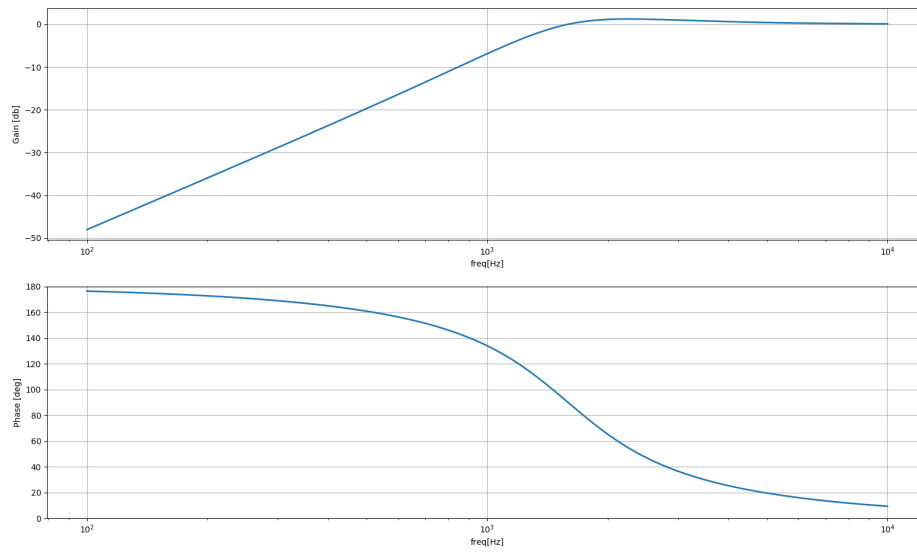


Figur 4: Gain og fase fra krets *a* i Oppgave 2a, $R=196\Omega$

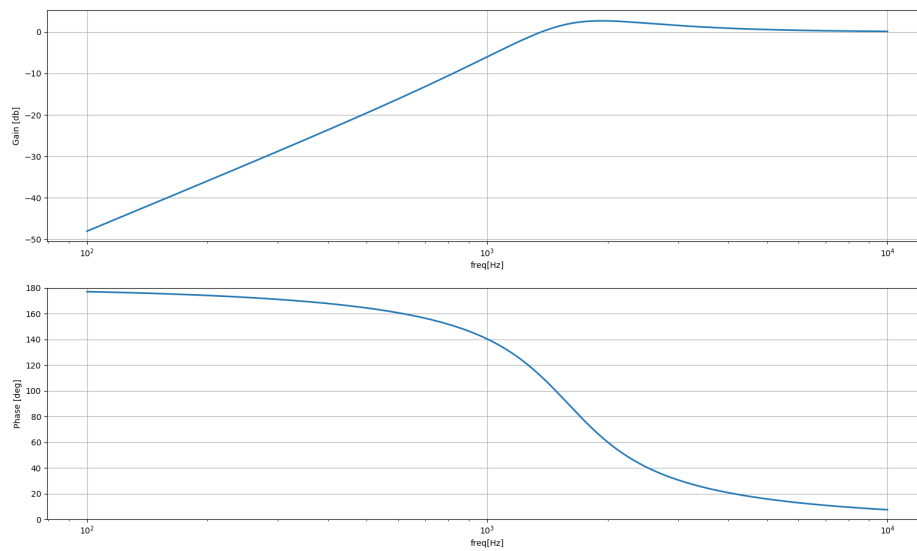
d)

Bodediagram for tilfellene krets *b* er vist i Figurene 5, 6 og 7. Tilfellene for krets *c* er vist i Figurene 8, 9 og 10.

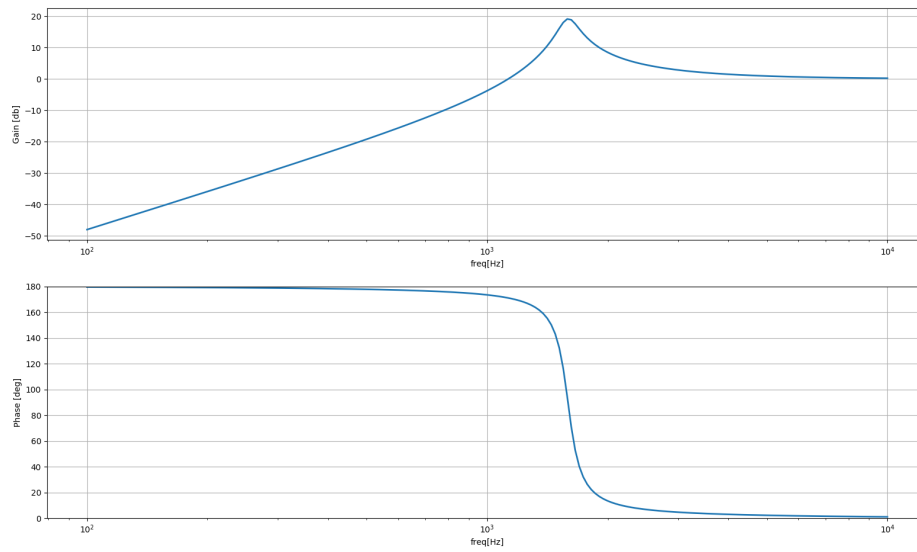
Vi ser her at vi får henholdsvis høypass- og lavpassfilter som forutsagt i *a*). Vi ser også at knekkfrekvensene ligger i nedre delen av (ikke eksakt på) resonansfrekvensen. Når R blir liten, får vi en (ofte uønsket) topp i $|H(f)|$ nær f_0 .



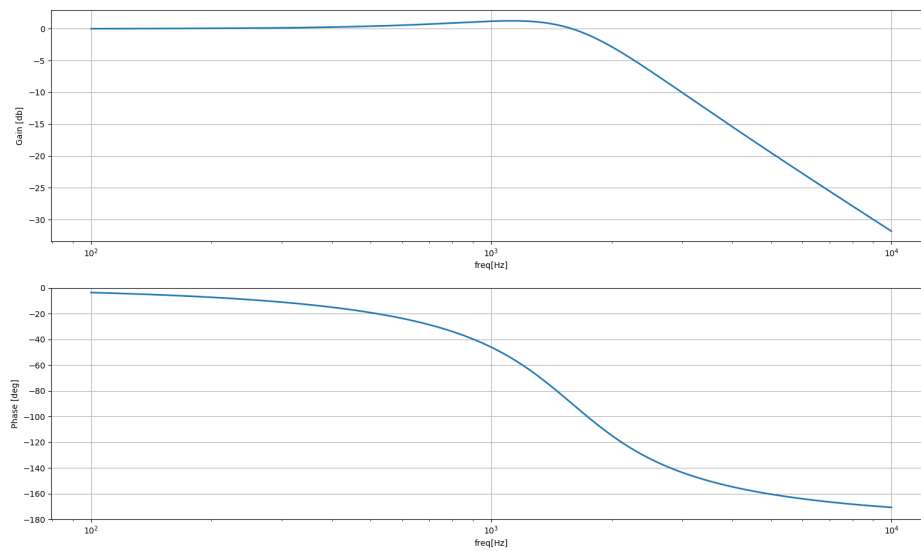
Figur 5: Gain og fase fra krets *b* i Oppgave 2a, $R=1k\Omega$



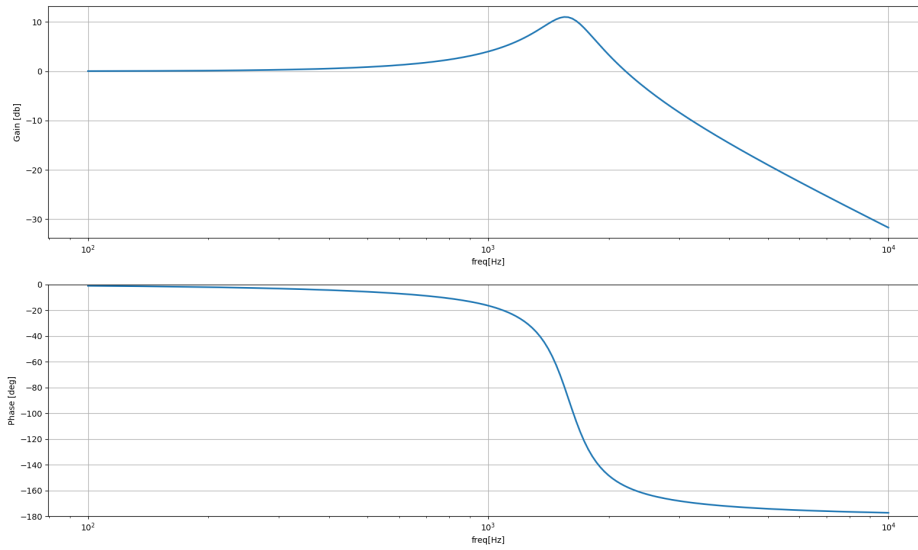
Figur 6: Gain og fase fra krets *b* i Oppgave 2a, $R=800\Omega$



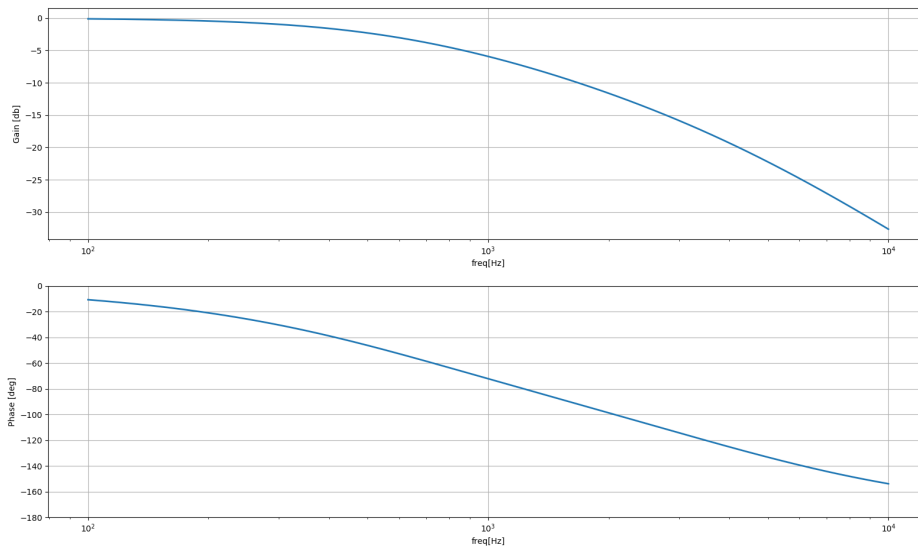
Figur 7: Gain og fase fra krets *b* i Oppgave 2a, $R=110\Omega$



Figur 8: Gain og fase fra krets *c* i Oppgave 2a, $R=1k\Omega$



Figur 9: Gain og fase fra krets c i Oppgave 2a, $R=284\Omega$



Figur 10: Gain og fase fra krets c i Oppgave 2a, $R=3k\Omega$

e)

Strømmen er lik i alle kretsene

$$I = \frac{V_1}{j\omega L + \frac{1}{j\omega C} + R} = \frac{V_1}{j\omega L - \frac{j}{\omega C} + R} = \frac{V_1}{j(\omega L - \frac{1}{\omega C}) + R}$$

a)

$$v_2 = IR = \frac{V_1 R}{j(\omega L - \frac{1}{\omega C}) + R}$$
$$H(\omega) = \frac{V_2}{v_1} = \frac{R}{R + j(\omega L - \frac{1}{\omega C})}$$
$$|H(\omega)| = \frac{R}{\sqrt{R^2 + (\omega L - \frac{1}{\omega C})^2}}$$

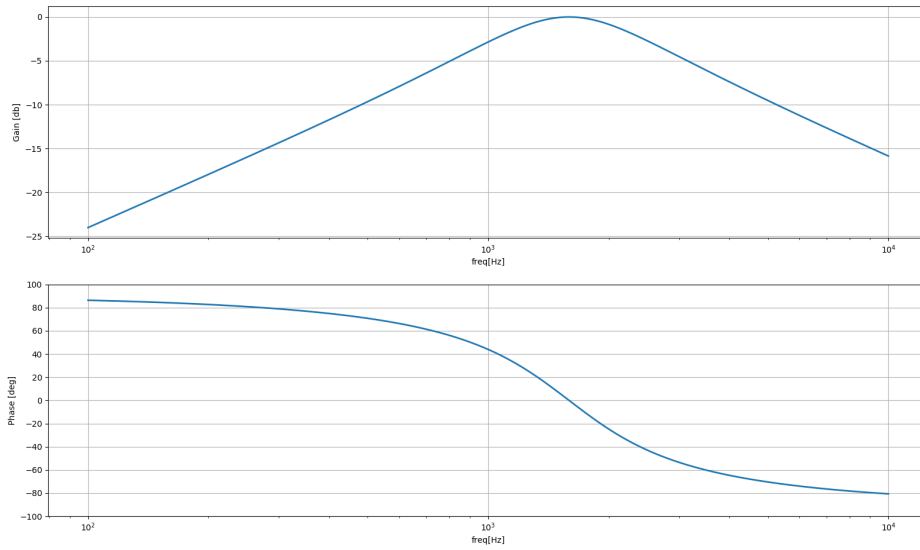
b)

$$V_2 = j\omega L = \frac{V_1 j\omega L}{j(\omega L - \frac{1}{\omega C}) + R}$$
$$H(\omega) = \frac{V_2}{v_1} = \frac{j\omega L}{R + j(\omega L - \frac{1}{\omega C})}$$
$$|H(\omega)| = \frac{\omega L}{\sqrt{R^2 + (\omega L - \frac{1}{\omega C})^2}}$$

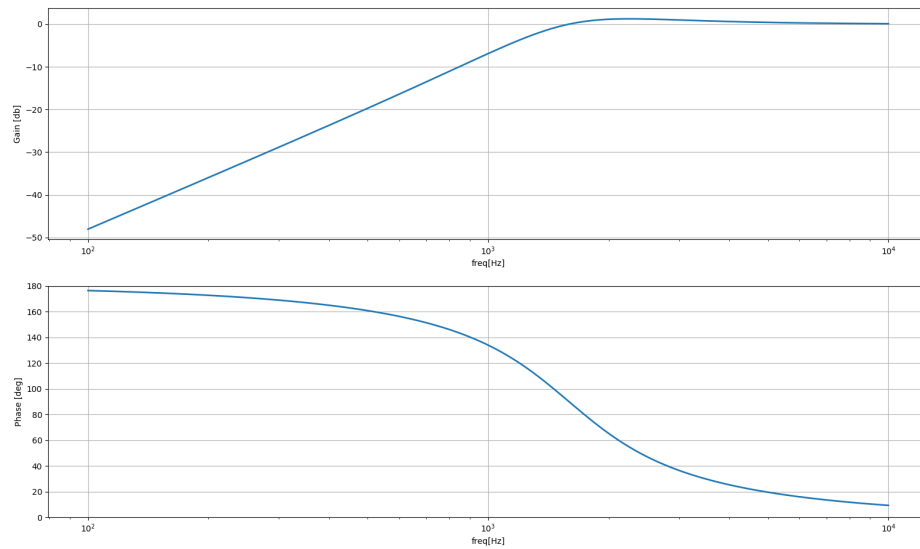
c)

$$V_2 = \frac{1}{j\omega C} = \frac{V_1}{j\omega C [R + j(\omega L - \frac{1}{\omega C})]} = \frac{V_1}{j\omega RC - \omega C(\omega L - \frac{1}{\omega C})}$$
$$H(\omega) = \frac{V_2}{v_1} = \frac{1}{j\omega RC - \omega C(\omega L - \frac{1}{\omega C})} = \frac{V_1}{1 - \omega^2 LC + j\omega RC}$$
$$|H(\omega)| = \frac{1}{\sqrt{(1 - \omega^2 LC)^2 + (\omega RC)^2}}$$

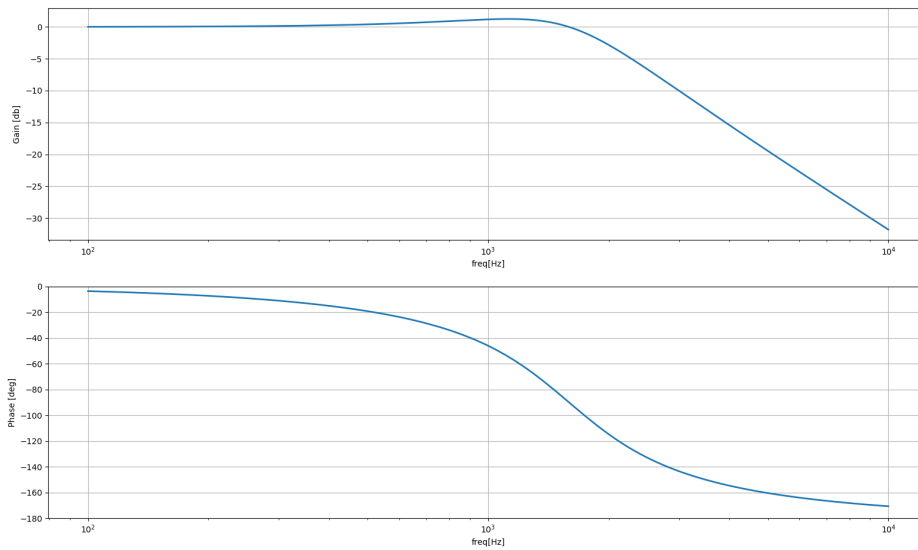
Funksjonene over er plottet i Figurene 11, 12 og 13.



Figur 11: Gain og fase fra krets *a* i Oppgave 2a, $R=1k\Omega$



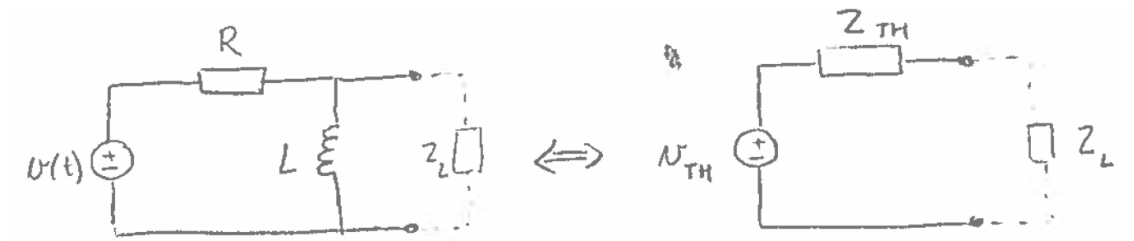
Figur 12: Gain og fase fra krets *b* i Oppgave 2a, $R=1k\Omega$



Figur 13: Gain og fase fra krets c i Oppgave 2a, $R=1k\Omega$

Oppgave 3

Vi finner først Thevenin-ekvivalenten sett fra tilkoblingspunktene til antennen. Dette er illustrert i Figure 14.



Figur 14: Thevenin-ekvivalenten sett fra tilkoblingspunktene til antennen.

$$Z_{TH} = R || j\omega L = \frac{1}{\frac{1}{R} + \frac{1}{j\omega L}} \cdot \frac{R}{R} = \frac{R}{1 - j\frac{R}{\omega L}}$$

Vi får størst tilført effekt til antennen ved frekvens ω_0 når vi designer antennen slik at

$$Z_{\omega_0} = Z_{\omega_0}^* = \frac{R}{1 + j \frac{R}{\omega_0 L}}$$

$$\omega_0 = \frac{R}{L} \implies$$

$$Z_{\omega_0} = \frac{R}{1 + j} \cdot \frac{1 - j}{1 - j} = \underline{\underline{\frac{R}{2}(1 - j)}}$$